浙江理工大学学报,第 28 卷,第 4 期,2011 年 7 月 Journal of Zhejiang Sci-Tech University Vol. 28, No. 4, Jul. 2011

文章编号: 1673-3851 (2011) 04-0490-05

碳纳米纤维负载钴酞菁催化氧化 β-巯基乙醇的性能研究

鲍双玉,李艳丽,富儒年,吕汪洋,姚玉元,陈文兴

(浙江理工大学先进纺织材料与制备技术教育部重点实验室, 杭州 310018)

摘 要:将四氨基钴酞菁(CoTAPc)接枝到碳纳米纤维(CNF)上,制备碳纳米纤维负载钴酞菁催化剂(CoTAPc-CNF)。以 β -巯基乙醇为研究对象,考察 CoTAPc-CNF 的催化性能,探讨 pH、 β -巯基乙醇浓度和温度对其催化性能的影响。结果表明:与单分子的钴酞菁相比,CoTAPc-CNF 具有更好的催化性能;CoTAPc-CNF 在 pH 为 12 时催化性能达到最大;初始反应速率 V_0 的倒数 $1/V_0$ 与 β -巯基乙醇浓度 S 的倒数 1/S 呈线性关系,表现出催化酶的特点;催化活性随着反应温度的升高而增加,反应活化能 E_a 为 10.684 kJ/mol。

关键词:β-巯基乙醇;催化氧化;钴酞菁;碳纳米纤维

中图分类号: O621 文献标识码: A

0 引 言

金属酞菁(MPc)是一种平面大环化合物,作为典型的金属辅酶模型,在催化领域被广泛关注,尤其是在石油脱硫方面[1]。石油中的硫化物会造成后续加工过程中催化剂失活或者中毒,或者作为民用燃料使用时会生成 SO_x ,引发酸雨的生成,污染环境[2],因此 MPc 模拟氧化酶催化氧化硫醇类物质具有特殊的研究意义。但是大多催化反应都是在均相中进行[3],而在均相中采用的催化剂一般是小分子金属酞菁。尽管小分子金属酞菁在均相中具有较高的催化活性,但存在催化剂与反应体系难分离的缺陷,使得小分子金属酞菁无法回收利用,并且小分子金属酞菁在溶液中容易形成二聚体而降低催化活性,所以人们将 MPc 负载到各种载体上,比如分子筛、沸石和聚合物[4-5]等,但效果不尽如意。据报道碳纳米纤维(CNF)尺寸在 $0\sim100~\rm nm$ 之间,具有较大的比表面积[6],为进一步改善金属酞菁的催化性能,将碳纳米纤维作为金属酞菁的载体可能会提高催化特性。本文尝试将四氨基钴酞菁(CoTAPc)负载在碳纳米纤维上制得新型催化剂 CoTAPc-CNF,选择β-巯基乙醇为催化对象,研究其催化性能。

1 实验部分

1.1 实验试剂及仪器

碳纳米纤维(日本 Showa Denko 公司);4-硝基邻苯二甲酸酐(江苏泰兴盛铭精细化工有限公司);尿素(杭州汇普化工仪器有限公司);钼酸铵(中国医药集团化学试剂公司);六水合氯化钴(上海恒信化学试剂有限公司);硫化钠、二氯亚砜(天津市博迪化工有限公司);N,N-二甲基甲酰胺(DMF,杭州高晶精细化工有限公司);过硫酸钾(宜兴市第二化学试剂厂);β-巯基乙醇(上海晶纯试剂有限公司);4-磺酸基邻苯二甲酸三铵盐(4-SATAS,日本东京化成工业株式会社)。所用试剂均为分析纯。

实验仪器:UPLC超高效液相色谱仪(美国 Waters 公司), Sollar M6 原子吸收光谱仪(美国 Thermo 公司), DF-101S集热式恒温磁力搅拌器(金坛市晶玻实验仪器厂), Hanna pH211 酸度计(意大利 Hanna 公司)。

收稿日期:2010-10-08

基金项目: 国家自然科学基金(50872124)

作者简介:鲍双玉(1986-),女,浙江淳安人,硕士研究生,主要从事功能性纤维材料研究。

1.2 CoTAPc-CNF 催化剂的制备

1.2.1 氨基钴酞菁的合成

四氨基钴酞菁和四磺酸基钴酞菁合成见参考文献[7]。

1.2.2 CNF的预处理

称取过硫酸钾 10 g 溶于 100 mL 热水中,然后加入 2 g 碳纳米纤维,放入超声波中氧化 8 h,反应温度为 50° 、氧化处理完后,水洗并烘干可得经预处理的碳纳米纤维。

1.2.3 CoTAPc-CNF 催化剂的制备

将预处理的 CNF 用二氯亚砜进行改性,于 90°C下反应 24 h,结束后将二氯亚砜除去,然后加入到已溶于 DMF 的氨基钴酞菁溶液,在 90°C下维持 24 h,反应结束取出洗净并烘干可得 CoTAPc-CNF 催化剂,其制备路线如图 1 所示。

图 1 CoTAPc-CNF 的制备

1.3 CoTAPc-CNF 中钴酞菁含量的测试

采用原子吸收光谱法测定 CNF-CoTAPc 催化剂中钴元素含量,根据钴元素含量来计算碳纳米纤维上负载钴酞菁的含量,CNF-CoTAPc 催化剂中钴酞菁的负载量为 6.85%。

1.4 CoTAPc-CNF对β-巯基乙醇催化性能的测试

在密闭的三口烧瓶中,将催化剂 CoTAPc-CNF 加入预调好 pH 的 100 mL 水溶液中,向三口烧瓶中通入纯氧,氧气为流通氧,且压力为 2 cm 水柱,再加入一定量的 β-巯基乙醇,在 25℃下固定搅拌速度反应,然后取样用 UPLC 来检测水溶液中 β-巯基乙醇及其产物的含量,通过生成 β-巯基乙醇产物的产率来表征 Co-TAPc-CNF 的催化活性。UPLC 测试条件:色谱柱,CQUITY UPLC BEN C18 1.7 μ m,2.1×50 mm,柱温 30℃,流动相为乙腈和水溶液,流速为 0.25 mL/min,进样量 0.6 μ L,保留时间定性,峰面积外标法定量。

2 结果与讨论

2.1 β-巯基乙醇及其产物的 UPLC 谱图分析

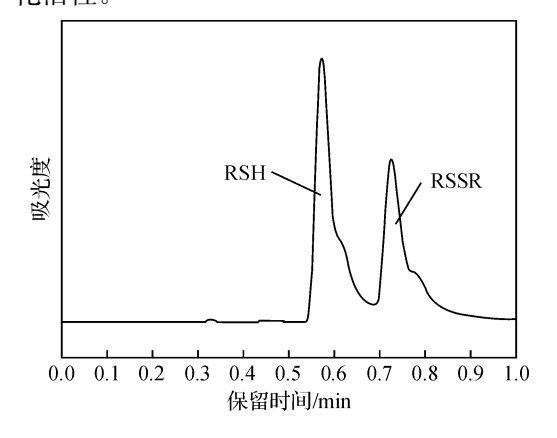
β-巯基乙醇在酞菁催化剂的作用下,与氧气的反应如下:

$$4HOCH2CH2SH+O2 \xrightarrow{\text{@thN}} 2HOCH2CH2SSCH2CH2OH+H2O$$
 (1)

由于该反应是一个消耗氧气的反应,因此文献[8]通常采用氧气的消耗量来间接表征金属酞菁的催化活性。在本文中,用 UPLC 来分析检测水溶液中 β -巯基乙醇及其产物 HOCH₂CH₂SSCH₂CH₂OH(RSSR)的含量,通过检测水溶液中 β -巯基乙醇的剩余率及 RSSR 的产率来直接表征 CoTAPc-CNF 的催化性能。因此,在 CoTAPc-CNF 催化氧化 β -巯基乙醇一定时间后,取出一定量的反应液进行分析,结果如图 2 所示。图 2 可见,在保留时间 0.57 min 和 0.72 min 分别有两个明显的特征吸收峰,经气质联用色谱进一步分析,这两个峰分别归属于 β -巯基乙醇及其产物的特征峰。

2.2 CoTAPc-CNF对β-巯基乙醇的催化性能

取催化剂 CoTAPc-CNF 为 0.02 g,pH 为 11,在反应温度 25℃下进行反应,在不同的反应时间分别取样进行超高液相色谱分析,其变化过程如图 3 所示。从谱图中可以看出,随着反应时间的进行,β-巯基乙醇对应的峰面积表现出变小的趋势,而产物对应的峰面积逐渐变大。因峰面积与浓度值成正比,所以 β-巯基乙醇的浓度随反应时间迅速降低,RSSR 的含量逐渐增加。由此可知 CoTAPc-CNF 对 β-巯基乙醇有良好的催化活性。



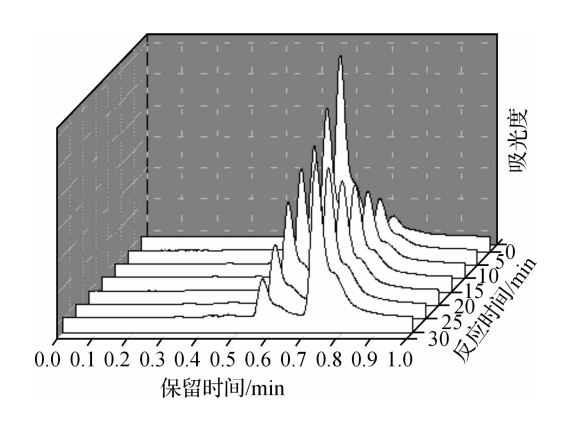
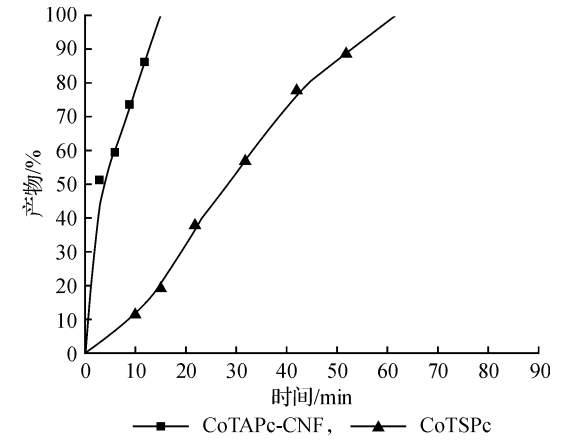


图 2 β-巯基乙醇及产物 RSSR 的 UPLC 谱图

图 3 不同反应时间下β-巯基乙醇及其产物的超高效液相色谱图

2.3 与小分子钴酞菁(CoTSPc)催化性能的比较

为了进一步证实 CoTAPc-CNF 的催化性能,选择和四氨基钴酞菁 (CoTAPc) 催化活性相近的四磺酸基钴酞菁 (CoTSP)作为比较对象。两者的催化机理都是分子中间的钴原子起作用,外围取代基对它的影响不大,但因CoTAPc 水溶性较差不便与 CoTAPc-CNF 的催化性能直接比较,所以选择 CoTSPc 进行对比,其中四磺酸基钴酞菁 的摩尔质量和 CoTAPc-CNF 中含有的四氨基钴酞菁量相同。图 4即为 CoTAPc-CNF 和 CoTSPc 对β-巯基乙醇的催化性能。从图 4可以看出:CoTAPc-CNF 与均相 CoTSPc 相比,催化相同量的β-巯基乙醇,CoTSPc 需要 62 min 把β-巯基乙醇完全转化为产物 RSSR,而 CoTAPc-CNF 只要15 min就可将β-巯基乙醇完全催化氧化,与 CoTSPc 相比,反应时间减少了 47 min。由此可知,CoTAPc-CNF 比 CoTSPc 具有更高的催化活性,这说明四氨基钴酞菁负载在碳纳米纤维上,其催化活性得到了显著增强。这可能由于碳纳米纤维



n(β-mercaptoethanol) = 0. 1 mol/L, w (CoTAPc-CNF) = 0.4 g/L, n (CoTAPc) = 4. 34 × 10⁻⁵ mol/L, w (CoTSPc) = 0.038 σ /L, T=25 $^{\circ}$ C

图 4 CoTAPc-CNF 和 CoTSPc 的催化性能

具有较大的比表面积和活性,将 CoTAPc 接枝到 CNF 后共轭作用增强,更有利于酞菁在催化氧化 β-巯基乙醇时电子的转移,使得催化剂 CoTAPc-CNF 表现出了较好的催化性能。

2.4 pH对 CoTAPc-CNF催化氧化β-巯基乙醇的影响

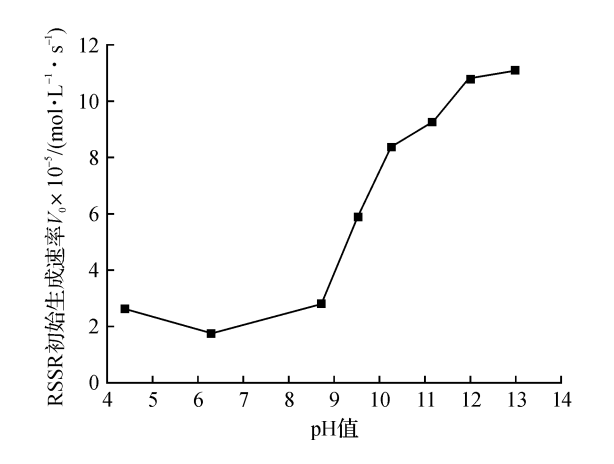
为了考察 pH 对催化剂 CoTAPc-CNF 催化氧化 β-巯基乙醇的影响,用最初 25 min 产物 RSSR 的生成量来计算初始氧化速率(即每秒每升底物溶液中产物的生成摩尔数)。从图 5 知:在 pH 小于 9 时,产物的初始生成速率几乎保持不变,而在 pH 高于 9 时,随着 pH 升高,RSSR 的生成速率逐渐增大。在 pH=12 时,产物的初始生成速率达到最大。由此可见,CoTAPc-CNF 对 β-巯基乙醇在 pH 大于 11 时具有高的催化活性。这是由于在酞菁催化过程中,β-巯基乙醇的电离产物 SCH₂CH₂OH 随着溶液 pH 的升高,电离程度增加,初始氧化速率得到一定程度的增大,而 CoTAPc-CNF 在 pH 增高时更能加快反应过程中电子快速的转移,使得初始氧化速率得到了显著提高,体现出 CNF 作为载体时的优越性。

2.5 β-巯基乙醇浓度对 CoTAPc-CNF 催化性能的影响

为了考察底物浓度[S]与初始氧化速率的关系,选用不同底物浓度的巯基乙醇进行催化氧化,选取 20 min内产物的生成百分含量来计算初始生成速率,通过测定不同浓度下的初始生成速率,绘制 1/V-1/S 曲线,结果如图 6 所示。由图 6 知 1/V-1/S 成线性增长关系,可见 CoTAPc-CNF 催化巯基乙醇的氧化巯基乙醇的反应符合 Michaelis-Menton 公式:

$$V_0 = \frac{V_{\text{max}}[S]}{K_m + [S]} \tag{2}$$

在低的底物浓度下,初始氧化速率 V_0 直接与底物浓度[S]成线性增长关系,是典型的酶促反应,由拟合的直线可得动力学参数。



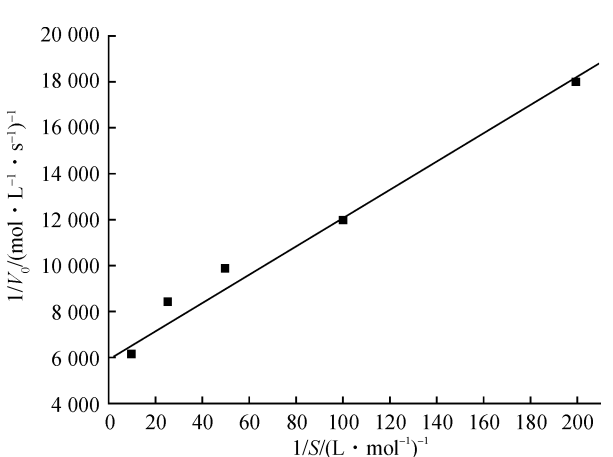
[CoTAPc-CNF]=0.4 g/L, T=25℃ 图 5 pH 对 CoTAPc-CNF 催化性能的影响

2.6 反应温度对 CoTAPc-CNF 催化性能的影响

由于温度对催化剂模拟酶的催化性能影响很大,为了考察反应温度对催化剂催化性能的影响,选取 25.35.45 和 55 个 4 个温度值,测定反应 15 min时产物 RSSR 的生成含量来计算初始氧化速率,通过不同温度下初始生成速率,作出曲线 $\ln V_0 - 1/T$,如图 7。从图 7 可知:随着反应温度的升高,初始氧化速率逐渐增加; $\ln V_0 - 1/T$ 成线性关系,这个反应的速率和温度之间满足 Arrhenius 公式:

$$\ln V_0 = -\frac{E_a}{TR} + A \qquad (3)$$

得到催化剂的活化能 E_a 为 10. 684 kJ/mol,比起均相酞菁的活化能要小。活化能越小说明催化剂活化的分子数越多,表明其催化活性较高。这证实了 CoTAPc-CNF 有良好的催化活性。



[CoTAPc-CNF]=0.4 g/L, T=25℃, pH=10.50 图 6 底物浓度对 CoTAPc-CNF 催化性能的影响

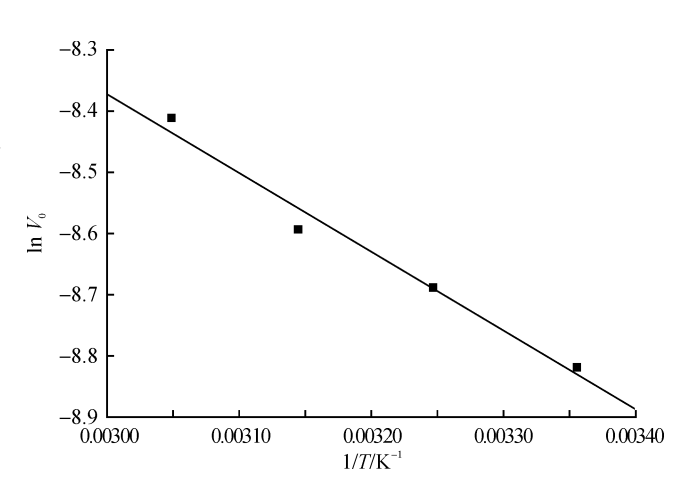


图 7 CoTAPc-CNF 催化下 lnV_0-1/T 的阿累尼乌斯曲线

3 结 论

- a)将四氨基钴酞菁接枝在碳纳米纤维上,制备了碳纳米纤维负载四氨基钴酞菁催化剂(CoTAPc-CNF), 催化剂中钴酞菁的负载量为 6.85%,紫外可见光谱表明钴酞菁已负载到碳纳米纤维上。
- b)与小分子的钴酞菁相比,CoTAPc-CNF 对 β-巯基乙醇有良好的催化活性,在 pH 为 12 时催化性能达到最大;初始反应速率 V_0 的倒数 $1/V_0$ 与 β-巯基乙醇浓度 S 的倒数 1/S 呈线性关系,表现出催化酶的特点。催化活性随着反应温度的升高而增加,反应活化能 E_0 为 10. 684 kJ/mol。

参考文献:

- [1] Ilaria C, Fethi B, Joseh. Environment effects on the oxidation of thiols: cobalt phthalocyanine as a test case[J]. Chemical Physics Letters, 2003, 376: 690-697.
- [2] 吴基荣, 雷朝海, 郝生荣. 液化石油气脱硫研究进展[J]. 化学工业与工程技术, 2009, 30(3): 36-39.
- [3] Sandra E, Iliev V, Kozhevnikov. Homogeneous oxidation of methyl isobutyrate with oxygencatalysed by metal complexes: polyoxometalates versus metalloporphyrins and metallophthalocyanines[J]. Journal of Molecular Catalysis A: Chemical, 2002, 184(1): 121-130.
- [4] Hassanein M, Eihashary H, Salahuddin N. Oxidation of 2-mercaptoethanol catalyzed by cobaltphthalocyaninetetrasulfonate supported on poly-N-alkyl-4-vinylpyri-dinium/montmorillonite intercalates[J]. Journal of Molecular Ccatalysis A: Chemical, 2005, 234: 45-50.
- [5] Boris F. Electrochemical response of new carbon electrodes bulk modified with cobalt phthalocyanine to some thiols in the presence of heptane or human urine[J]. Analytica Chimica Acta, 1999, 394: 91-100.
- [6] 顾书英,朱立华,藤新荣,等. 纳米碳纤维的制备及应用[J]. 材料导报,2004(4):86-88.
- [7] Achar B N, Fohlen G M. Synthesis and structural studies of metal([])4, 9, 16, 23-phthalocyanine tetraamines[J]. Polyhedron, 1987, 6(4): 1463-1467.
- [8] 吕素芳,潘 勇,胡智文,等.新型水溶性钴酞菁的制备及其催化氧化硫醇的性能[J]. 化学学报,2005,63(6): 507-511.

Carbon Nanofiber Supported Cobalt Phthalocyanine for Catalytic Oxidation of β-mercaptoethanol

BAO Shuang-yu, LI Yan-li, FURu-nian, LÜ Wang-yang, YAO Yu-yuan, CHEN Wen-xing (The Key Laboratory of Advanced Textile Materials and Manufacturing Technology (Zhejiang Sci-Tech University), Ministry of Eduction, Hangzhou 310018, China)

Abstract: A novel catalyst CoTAPc-CNF is prepared by immobilizing cobalt tetraaminephthalocyanine (CoTAPc) onto the modified carbon nanofiber. The catalytic performance of CoTAPc-CNF is investigated by the oxidation of β -mercaptoethanol. Compared with molecular phthalocyanine, CoTAPc-CNF indicates excellent catalytic properties. The initial solution pH ranging from 4 to 13 and the changes of concentration of the β -mercaptoethanol are also investigated. The results show that catalytic activity reached higher at pH 12; and the reciprocal initial reaction rate $(1/V_0)$ has a linear relation with the reciprocal concentration (1/S), presenting the characteristics of enzyme catalysis. Moreover, the catalytic ability of CoTAPc-CNF increases with increasing temperature. The activation energy of Ea is 10.684kJ/mol.

Key words: β-mercaptoethanol; catalytic oxidation; cobalt pathalocyanine; carbon nanofiber

(责任编辑: 许惠儿)